

○ 北海道工業大学 正員 畑中 榆  
北海道工業大学 正員 猪又 稔

## 1. まえがき

弹性ばりに支持された格子桁模型の載荷試験によつて、荷重分配についての計算値と実験値との比較を行ひ、さうに格子曲げ剛度、中間横桁と弹性ばりの曲げ剛性比、端横桁と中間横桁の曲げ剛性比が荷重分配における影響について検討したものである。

## 2. 供試体と載荷方法

模型とした格子桁の寸法および部材断面寸法は次の通りである。

また、各部材の連結は全て溶接合とした。

$$\text{主桁の支間 } l = 3''000$$

$$\text{主桁の間隔 } a = 0''600$$

$$\text{弹性桁の支間 } b = 5 \times 0.600 = 3''000 \text{ (TYPE-A)}$$

$$b = 3 \times 0.600 = 1''800 \text{ (TYPE-B)}$$

$$\text{主桁の断面 } H200 \times 100 \times 5.5 \times 8 \quad I_o = 1840 \text{ cm}^4$$

$$\text{中間横桁の断面 } H200 \times 100 \times 5.5 \times 8 \quad I_b = 1840 \text{ cm}^4$$

$$\text{端横桁の断面 } H150 \times 75 \times 5 \times 7 \quad I_a = 666 \text{ cm}^4$$

$$\text{弹性桁の断面 } H150 \times 75 \times 5 \times 7 \quad I_A = 666 \text{ cm}^4$$

載荷点は図-1の(1),(2),(3),(4)点とし、載荷は油圧ジャッキで行ひ。荷重の検出はアイナモーターにより行ひ、各点で1ton～4tonまで1tonずつに載荷し、これも3回くり返された。たわみの測定は主桁と中間横桁の交差、千鳥と、弹性桁の主桁位置直下8点、計12点に1/100mmダイアルゲージを設置して測定した。又、参考として、主桁、中間横桁、端横桁、弹性桁にワイヤーストレインゲージを貼り、ひずみも測定した。

## 3. 計算と実験結果

図-2において各横桁の主桁位置にヒンジを挿入した構造を基本系とすれば、横桁の左右の節点角は等しいといふ拘束条件から、荷重がスパン中央の格子に作用するときの横桁の節点モーメントを求める。理論式はつきのようになる。

$$\begin{cases} \begin{pmatrix} M_2 \\ M_3 \end{pmatrix}^{(a)} \\ \begin{pmatrix} M_2 \\ M_3 \end{pmatrix}^{(b)} \end{cases} = \begin{pmatrix} 4 + w\gamma_{11} & 1 + w\gamma_{12} & 0.5w\gamma_{11} & 0.5w\gamma_{12} \\ 1 + w\gamma_{12} & 4 + w\gamma_{22} & 0.5w\gamma_{22} & 0.5w\gamma_{21} \\ \gamma_{11} & \gamma_{12} & 4 + 6\beta + 0.5\gamma_{11} & 1 - 4\beta + 0.5\gamma_{12} \\ \gamma_{12} & \gamma_{22} & 1 - 4\beta + 0.5\gamma_{12} & 4 + 6\beta + 0.5\gamma_{22} \end{pmatrix}^{-1} \begin{pmatrix} B_2 \\ B_3 \end{pmatrix}^{(a)} \\ \begin{pmatrix} M_2 \\ M_3 \end{pmatrix}^{(c)} = \begin{pmatrix} \gamma_{11} \\ \gamma_{12} \end{pmatrix} \end{cases} \dots\dots\dots (1)$$

$$\begin{aligned} \text{ただし} \quad w &= I_a/I_b \quad \beta = (l/2a)^2 (I_b/I_a) \\ r_{ij} &= \frac{6EI_b}{a^3} \left\{ (\delta_{ij} - 2\delta_{i,j+1} + \delta_{i,j+2}) - 2(\delta_{i+1,j} - 2\delta_{i+1,j+1} + \delta_{i+1,j+2}) \right. \\ &\quad \left. + (\delta_{i+2,j} - 2\delta_{i+2,j+1} + \delta_{i+2,j+2}) \right\} \\ B_r &= \frac{3EI_a}{a^2} \sum_v (-\delta_{r-1,v} + 2\delta_{r,v} - \delta_{r+1,v}) P_{cv} \\ B_r &= \frac{6EI_b}{a^2} \left( -\delta_{b(r-1)} + 2\delta_{b(r)} - \delta_{b(r+1)} + 0.5 \sum_v (-\delta_{r-1,v} + 2\delta_{r,v} - \delta_{r+1,v}) P_{cv} \right) \end{aligned} \dots\dots\dots (2)$$

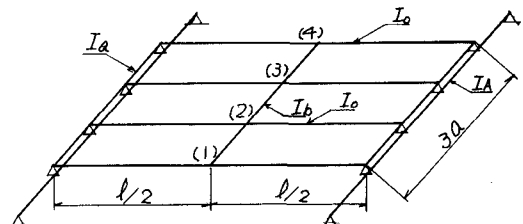


図-1 格子桁の寸法

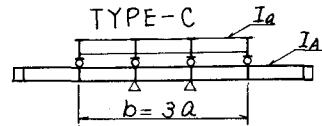
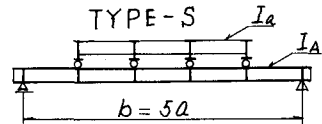


図-2 弹性ばりの種別

$r = 2, 3$

$P_c$  は主析点に作用する荷重であり、 $d_{ij}$  は弾性ばりの単位集中荷重によるたわみ、 $d^o$  は荷重による主析点中央点のたわみをあらわす。

図-3 は TYPE-S と TYPE-C について、外析載荷と中析載荷の場合の荷重分配の計算値 (S-1, C-1) と実験値 (たわみから求めたものを黒なり、ひずみから求めたものを白ぬき) を示したものであり、両者は比較的よく一致していることが確かめられた。また、参考までに端横析のない場合 (S-2, C-2) と剛支承上の場合 (F) の計算値も合せて示した。

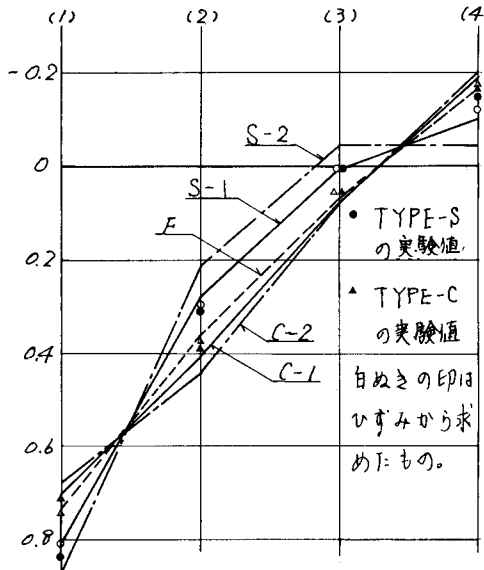


図-3a 外析載荷の場合の分配値

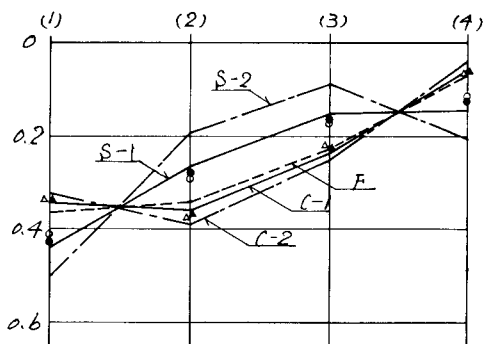


図-3b 中析載荷の場合の分配値

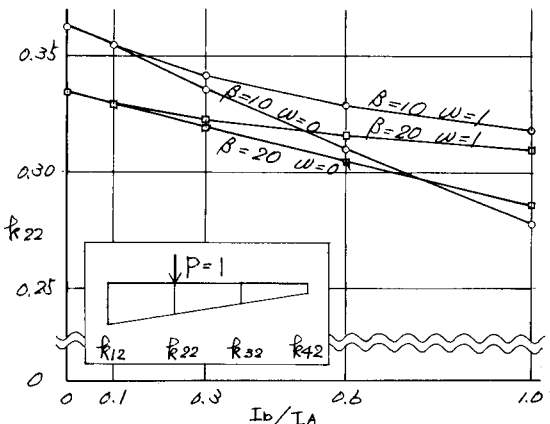
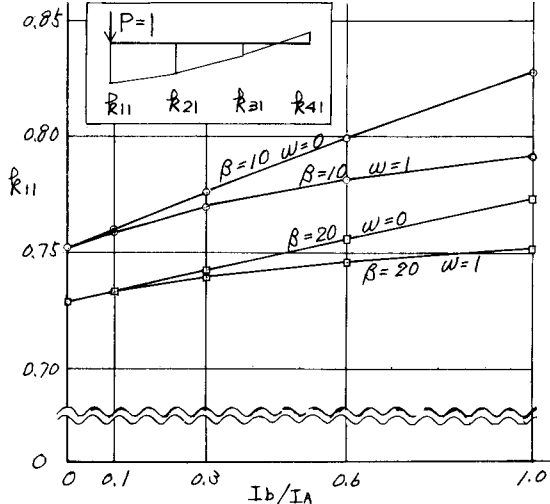


図-4 荷重分配率に与える  $w$ ,  $\beta$ ,  $I_b/I_A$  の影響 (TYPE-A)

#### 4. 荷重分配に関する考察

格子曲げ剛度  $\beta$ 、端横析と中間横析の曲げ剛性比  $w = I_A/I_b$ 、中間横析と弾性ばりの曲げ剛性比  $I_b/I_A$  の値が載荷析の荷重分配にいかなる影響をあたえるかを検討するために、TYPE-S について数値計算を行ない、その結果を図-4 に示す。図からわかるように、荷重分配値は  $\beta$  が小さいほど  $I_b/I_A$  値の影響が大きくなる。また、端横析の曲げ剛性が大きいほど剛支承上格子析の荷重分配値に近づき、 $\beta$  が大きいほどその傾向は顕著となり、端横析の有無が荷重分配にかなり影響を与えることがわかる。